

ЛУЧЕВАЯ ДИАГНОСТИКАRADIAL DIAGNOSIS

**ПРЕДОПЕРАЦИОННАЯ И ИНТРАОПЕРАЦИОННАЯ ОЦЕНКА
ОБЪЁМНОЙ СКОРОСТИ КРОВОТОКА
ПО ВНУТРЕННЕЙ ГРУДНОЙ АРТЕРИИ У БОЛЬНЫХ ИБС**

БАЗЫЛЕВ В.В., БАРТОШ Ф.Л., СИВУЩИНА С.В., МИКУЛЯК А.И.

Федеральный центр сердечно-сосудистой хирургии Минздрава РФ, Пенза, Россия

Левая внутренняя грудная артерия (ВГА) является в настоящее время артерией выбора для реваскуляризации коронарных артерий. Ультразвуковое дуплексное сканирование (УЗДС) и ультразвуковая допплеровская флюометрия (УДФ) являются последовательными методиками контроля проходимости ВГА на этапах оказания помощи пациентам по восстановлению коронарного кровотока. Мы сравнили два способа измерения объёмных скоростей кровотока: методом УЗДС и УДФ. Проведена статистическая обработка результатов. Установлено, что трансторакальное УЗДС и интраоперационная УДФ в оценке объёмной скорости кровотока по ВГА у пациентов с ишемической болезнью сердца являются сопоставимыми методиками, при условии одинаковых параметров центральной гемодинамики у пациентов.

Ключевые слова: внутренняя грудная артерия, дуплексное сканирование, ультразвуковая допплеровская флюометрия, объёмная скорость кровотока.

ВСТУПЛЕНИЕ

Левая внутренняя грудная артерия (ВГА) является в настоящее время артерией выбора для реваскуляризации коронарных артерий. Это обусловлено анатомо-функциональными особенностями артерии, а также тем, что данная артерия преимущественно используется для шунтирования передней межжелудочковой ветви левой коронарной артерии, которая сама в значительной мере определяет прогноз, что было подтверждено рядом рандомизированных исследований, проводившихся ещё в 80-х годах [1, 2], также и современными исследованиями [3, 4].

Повторное вмешательство на коронарных артериях сопряжено, как правило, с повышенным риском по сравнению с первичной процедурой реваскуляризации, поэтому на сегодняшний день проблема оптимального выбора трансплантатов по-прежнему остаётся актуальной [5, 6]. Ультразвуковое дуплексное сканирование (УЗДС) и ультразвуковая допплеровская флюометрия (УДФ) являются последовательными методиками контроля проходимости ВГА на этапах оказания помощи пациентам по восстановлению коронарного кровотока.

Существуют многочисленные данные, характеризующие кровоток по ВГА трансторакально [7–9] и интраоперационно [10], но сравнение предоперационных и интраоперационных данных у одних и тех же больных мы встретили только в одной работе [11].

Цель исследования: сравнение ультразвуковых методик – УЗДС и УДФ – в оценке

объёмной скорости кровотока по ВГА у больных ишемической болезнью сердца.

МАТЕРИАЛЫ И МЕТОДЫ

В исследование включены 106 пациентов, которым было выполнено 129 изолированных маммаро-коронарных шунтирований (МКШ) в период с марта 2015 по май 2015 гг. в ФГБУ «ФЦСХ Минздрава России» (г. Пенза). Первую группу составили 74 пациента, вторую – 32. Различий по клинико-демографическим показателям между группами не было (табл. 1). МКШ проводилось с использованием как правой, так и левой ВГА. Деление на группы осуществлялось статистически с помощью метода линейной регрессии.

Статистика. База данных составлялась в виде электронных таблиц в программе Microsoft Office Excel 2007. На первом этапе обработки полученных результатов мы применяли линейную регрессию. В качестве зависимой переменной выступала Q_{mean} , полученная интраоперационно, независи-

Таблица

Клинико-демографические показатели					
	1 группа (n=74)	(95% ДИ)	2 группа (n=32)	(95% ДИ)	P
Возраст (лет)	59,6±9,8	(57,3;61,9)	58,5±8,1	(55,6;61,4)	0,6
Мужчины (n)	36		20		0,3
EuroScore (%)	4,1±1,8	(3,7;4,5)	3,9±1,5	(3,3;4,4)	0,7
ФВ (%)	52,4±8,7	(50,4;54,9)	55,2±6,9	(52,7;57,7)	0,08

Примечание: ФВ – фракция выброса левого желудочка. ДИ – доверительный интервал.

мой – Q_{mean} трансторакально. Уравнение регрессии считалось статистически значимым при уровне значимости F-критерия $\pm 0,05$. Определялся коэффициент детерминации модели (R^2), показывающий процент вариабельности зависимой переменной, которая объясняется полученной моделью. Отдельно определялись наиболее влиятельные наблюдения с помощью показателя standardized DfBeta ($DfBetaS$), отражающего разность между коэффициентами регрессии при включении всех случаев в модель и при исключении данного случая из модели. То есть, если удаление наблюдения приводит к значительному "скачку" в оценках тех или иных параметров модели, значит это наблюдение является влиятельным. Принято считать, что наиболее значимыми являются случаи, в которых значения $DfBetaS \geq 2$ [12, 13].

Далее, деление пациентов на группы осуществлялось по значениям $DfBetaS$. При величине $DfBetaS \geq 2$ пациенты были отнесены во вторую группу, остальные в первую. Для каждой из полученных групп повторно составлялось уравнение линейной регрессии.

Для сравнения двух способов измерения объемных скоростей кровотока, внутри группы, мы применяли метод согласованности измерений Блэнда–Алтмана [14, 15]. Для каждой пары измерений вычислялась разность, средняя величина разности ($M_{разн}$) с указанием 95% доверительного интервала (95% ДИ), с последующей проверкой гипотезы отличия $M_{разн}$ от 0.

Для определения достоверности изменений и межгрупповых различий использовали t-test. Статистически значимыми считали различия при уровне $p \leq 0,05$. Результаты представлены в виде $M \pm SD$ с указанием 95% ДИ, где M – среднее значение, SD – стандартное отклонение. Для расчётов использовалась программа Stat graphics plus 3 (1997 г.) и SPSS (Statistical Package for the Social Sciences).

В предоперационном периоде УЗДС ВГА проводилось на аппарате "SONOLINE" G60 S фирмы SIEMENS с использованием микроконвексного датчика 5–8 МГц. ВГА визуализировалась из надключичного доступа и во 2–3 межреберье по параастернальной линии в положении пациента лёжа на спине. В режиме цветного допплеровского картирования (ЦДК) с использованием импульсного допплера и с корректировкой допплеровского угла (менее 60 градусов) измерялась объемная скорость кровотока с учётом диаметра артерии. Далее, этим же пациентам, интраоперационно проводили исследование ВГА с помощью УДФ. Измерение кровотока проводили с помощью флюметра VeryQ MediStim® (Осло, Норвегия) на участке скелетированной ВГА, протя-

женностью 2–2,5 см. Оценивали значение средней объемной скорости кровотока (Q_{mean}). В исследовании наиболее часто использовали датчики 1,5 и 2 мм.

РЕЗУЛЬТАТЫ

У пациентов первой группы не было получено никакой зависимости между Q_{mean} , полученными интраоперационно и трансторакально $R^2=0,04$ (рис. 1).

Для сравнения двух способов измерения объемных скоростей кровотока мы применяли метод согласованности измерений Блэнда–Алтмана с графической визуализацией данных. На рис. 2 представлены соотношения разницы между измерениями объемной скорости кровотока и среднеарифметическим этих измерений. У пациентов первой группы средняя разность между измерениями равна -11,95 мл (95% ДИ: -15,7; -7,0). При сравнении выборочной средней с гипотетической генеральной средней $p=0,001$, что говорит о наличии систематического расхождения.

У пациентов второй группы выявлена взаимосвязь между Q_{mean} , полученными интраоперационно и трансторакально $R^2=0,97$, $p=0,0001$. Уравнение аппроксимации: Q_{mean} интраоперационно = $0,98 \times Q_{mean}$ (трансторакально) + 0,57 (рис. 3). При сравнении двух способов измерения объемных скоростей кровотока методом согласованности измерений Блэнда–Алтмана (рис. 4) было получено, что у пациентов второй группы средняя разность между измерениями равна -0,28 мл/мин (95% ДИ: -1,4; 0,8). При сравнении выборочной средней с гипотетической генеральной средней $p=0,47$, что говорит об отсутствии систематического расхождения.

При сравнении Q_{mean} трансторакально у пациентов первой группы этот показатель составил $57,2 \pm 7,8$ мл/мин (95% ДИ: 54,8; 57,9); у пациентов второй группы – $50,5 \pm 3,2$ мл/мин (95% ДИ: 49,0; 51,9), $p=0,002$. При анализе Q_{mean} интраоперационно были получены следующие данные: показатель объемной скорости кровотока у пациентов первой группы составил – $42,4 \pm 9,0$ мл/мин (95% ДИ: 40,5; 42,4);

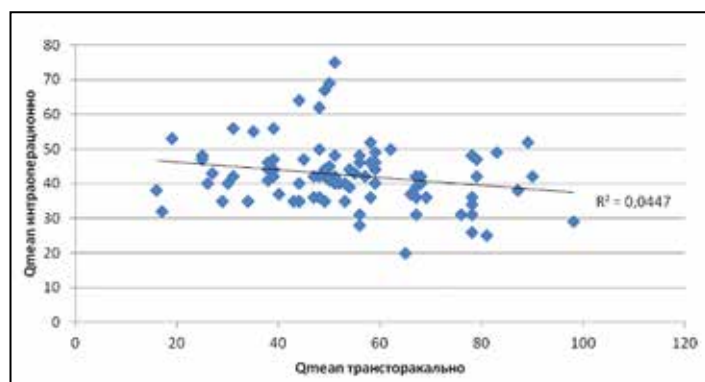


Рис. 1. График зависимости объемных скоростей кровотока, полученных разными способами, у пациентов первой группы

у пациентов второй группы – $44,3 \pm 11,2$ мл/мин (95% ДИ: 40,1;47,8), $p=0,2$.

Уровень систолического артериального давления у пациентов первой группы до операции составил – $148,0 \pm 15,9$ мм рт. ст. (95% ДИ: 144,7;151,3); интраоперационно – $92,1 \pm 9,3$ мм рт. ст. (95% ДИ: 90,19;94,0), $p=0,001$; соответственно у пациентов второй группы: до операции составил – $105,8 \pm 17,8$ мм рт. ст. (95% ДИ: 99,1;111,3); интраоперационно – $101,5 \pm 14,2$ мм рт. ст. (95% ДИ: 96,6;106,6), $p=0,09$. Уровень диастолического артериального давления у пациентов первой группы до операции составил – $82,6 \pm 9,4$ мм рт. ст. (95% ДИ: 80,6;84,5); интраоперационно – $62,3 \pm 6,7$ мм рт. ст. (95% ДИ: 60,9;63,6), $p=0,001$; соответственно у пациентов второй группы: до операции составил – $69,1 \pm 8,3$ мм рт. ст. (95% ДИ: 66,8;71,4); интраоперационно – $65,7 \pm 10,1$ мм рт. ст. (95% ДИ: 62,2;69,2), $p=0,07$.

Величина ударного индекса (УИ) у пациентов первой группы до операции была – $32,8 \pm 4,9$ мл/м² (95% ДИ: 31,8;34,1); интраоперационно – $28,5 \pm 5,0$ мл/м² (95% ДИ: 27,3;29,6), $p=0,001$; соответственно у пациентов второй группы: до операции составила – $20,7 \pm 7,5$ мл/м² (95% 27,8;31,1); интраоперационно – $29,3 \pm 5,2$ мл/м² (95% ДИ: 27,5;31,8), $p=0,8$.

Частота сердечных сокращений у пациентов первой группы до операции составила $70,5 \pm 7,7$ уд/мин (95% ДИ: 68,6;72,3); интраоперационно – $76,5 \pm 8,3$ уд/мин (95% ДИ: 74,7;79,0), $p=0,001$; соответственно у пациентов второй группы: до операции составила – $77,4 \pm 8,8$ уд/мин (95% ДИ: 66,3;77,6); интраоперационно – $80,4 \pm 7,2$ уд/мин (95% ДИ: 69,9;79,8), $p=0,3$.

ОБСУЖДЕНИЕ

На настоящий момент существуют различные методики для оценки состояния сосудов, которые могут быть использованы в качестве шунтов коронарных артерий. Трансторакальное УЗДС и интраоперационная УДФ позволяют оценить пригодность ВГА в качестве шунта. Оценку ВГА методом УЗДС и пригодность ее использования для шунтирования начали изучать в начале 90-х годов [16, 17]. Метод УДФ позволяет дать количественную характеристику кровотока в кондуите и определить функцию шунта [18–20].

Физиологическая норма величины Q_{mean} ВГА, полученная посредством УЗДС, широко варьируется от 17,2 до 104,4 мл/мин [21, 22].

Объемная скорость кровотока во ВГА, по данным N. Ohtani, была $54,6 \pm 29,0$ мл/мин и $56,8 \pm 38,2$ мл/мин у женщин [23], что сопоставимо с данными, полученными в нашем исследовании. Так, при УЗДС ВГА у пациентов первой группы Q_{mean} величина $57,2 \pm 7,8$ мл/мин (95% ДИ: 54,8;57,9), несколько меньше у пациентов второй группы – $50,5 \pm 3,2$ мл/

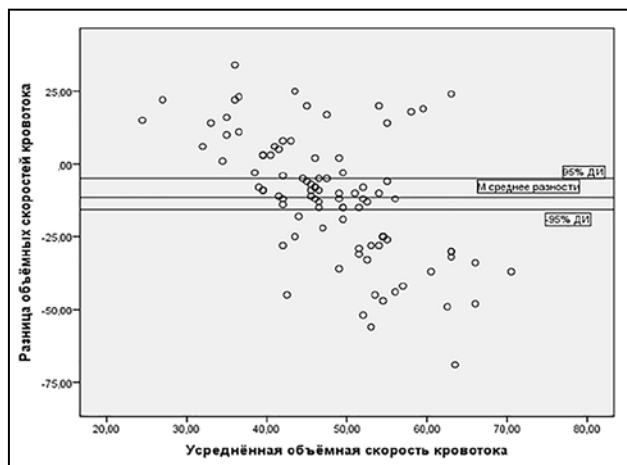


Рис. 2. Разница объёмных скоростей кровотока для каждого усреднённого значения у пациентов первой группы

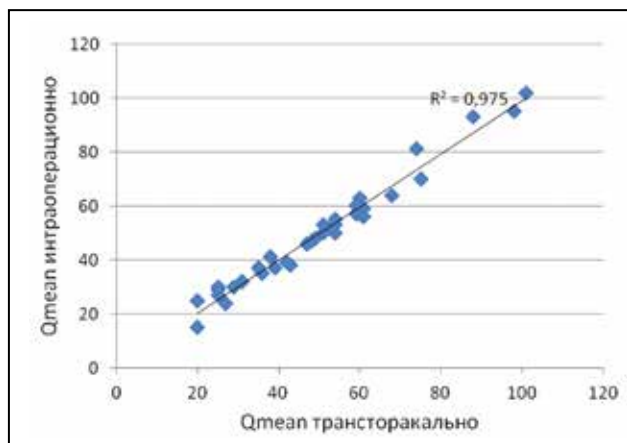


Рис. 3. График зависимости объёмных скоростей кровотока, полученных разными способами, у пациентов второй группы

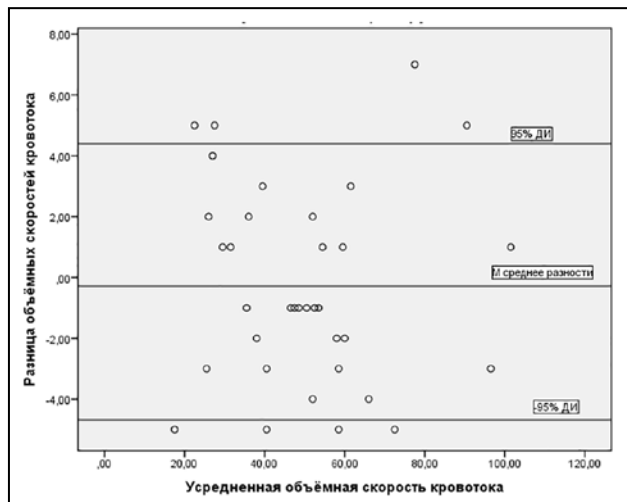


Рис. 4. Разница объёмных скоростей кровотока для каждого усреднённого значения у пациентов второй группы

мин (95% ДИ: 49,0;51,9), $p=0,002$. Различия в величинах Q_{mean} , полученных в нашем исследовании у пациентов разных групп, объясняются разными

гемодинамическими параметрами. Общеизвестно, что объемная скорость кровотока в сосуде зависит от ряда факторов. В том числе от величины периферического сопротивления [24, 25]. Это было подтверждено интраоперационно, при изучении влияния спазмолитиков на пропускную способность скелетированных шунтов. Было отмечено, что после введения папаверина значительно усиливается объемный кровоток ($197 \pm 66,2$ мл против $147,1 \pm 70,5$ мл) [26, 27].

В нашем исследовании выявлено, что у пациентов, у которых отмечалась разница в цифрах артериального давления, УИ и ЧСС до операции и во время операции, не было выявлено зависимости между цифрами Q_{mean} , полученными разными способами, и они достоверно отличались друг от друга; если же гемодинамические параметры не различались до и во время операции, то и объемная скорость крово-

тока тоже не различалась. Подобную зависимость получил в своем исследовании Cagli K., так, Q_{mean} интраоперационной, полученная путем свободного кровотечения, равнялась $32,42 \pm 12,33$ мл/мин, что было значительно меньше, чем пред- и послеоперационные ультразвуковые данные ($42,22 \pm 10,77$ мл/мин и $45,36 \pm 19,52$ мл/мин соответственно). Это он объясняет влиянием анестезии на сердечную гемодинамику и тонус сосудов [11].

ВЫВОДЫ

Таким образом, УЗДС и интраоперационная УДФ в оценке объемной скорости кровотока по ВГА у больных ишемической болезнью сердца являются сопоставимыми методиками, при условии одинаковых параметров центральной гемодинамики у пациентов.

Конфликт интересов отсутствует.

ЛИТЕРАТУРА/REFERENCES

- of the thoracodorsal artery as an alternative conduit for coronary bypass. Thorac. Cardiovasc. Surg. 1997; 45(6): 277–279.
10. **Kadohama T., Ohtani N., Sasajima T.** Evaluation of the flow characteristics of an internal thoracic artery graft after coronary artery bypass grafting by intercostal Duplex scanning ultrasonography. Thorac. Cardiovasc. Surg. (Torino). 2007; 48(5): 647–651.
 11. **Cagli K., Emir M., Kunt A., et al.** Evaluation of flow characteristics of the left internal thoracic artery graft: perioperative color Doppler ultrasonography versus intraoperative free-bleeding technique. Tex. Heart. Inst. J. 2004; 31(4): 376–381.
 12. **Rawlings J.O.** Applied Regression Analysis: A Research Tool, 2nd ed. New York, USA: Springer. 1988.
 13. **Cohen J., Cohen P., West S.G., Aiken L.S.** Applied multiple regression/correlation analysis for the behavioral sciences. Mahwah, New Jersey, London: Lawrence Erlbaum Associates. 2003.
 14. **Глани С.** Медико-биологическая статистика. М.: Практика. 1998; 270.
 15. **Bland J.M., Altman D.G.** Statistical methods for assessing agreement between two methods of clinical measurement. Lancet. 1986; 1: 307–310.
 16. **Marx R., Sons H., Lösse B., Bircks W.** Principles of duplex ultrasound diagnosis of the internal thoracic artery. Zeitschrift fur Kardiologie. 1994; 83(11): 804–8.
 17. **Moro H., Ohzeki H., Hayashi J.I., et al.** Evaluation of the thoracodorsal artery as an alternative conduit for coronary bypass. Thorac. Cardiovasc. Surg. 1997; 45(6): 277–279.
 18. **Bazylev V.V., Rosseikin E.V., Mikulyak A.I.** Intraoperative assessment of composite bypass grafts by means of ultrasonic Doppler flowmetry. Angiology and Vascular Surgery. 2013; 19: 2: 41–46 (in Russian).
 19. **Bazylev V.V., Nemchenko E.V., Karnakhin V.A., et al.** Flowmetric assessment of coronary bypass grafts in the conditions of artificial circulation and on the beating heart. Angiology and Vascular Surgery. 2016; 22; 1: 67–72 (in Russian).
 20. **D'Ancona G., Hargrove M., Hinching J., et al.** Coronary grafts flow and cardiac pacing modalities: how to improve perioperative myocardial perfusion. Eur. J. Cardiothorac. Surg. 2004; 26: 85–88.
 21. **Crowley J.J.** Noninvasive assessment of left internal mammary artery graft patency using transthoracic echocardiography. Circulation. 1995; 92 (supplement II): 25–30.
 22. **Crowley J.J., Shapiro L.M.** Transthoracic echocardiographic measurement of coronary blood flow and reserve. Journal of American Society of Echocardiography. 1997; 10(4): 337–343.
 23. **Ohtani N., Kiyokawa K., Asada H., et al.** Evaluation of an internal thoracic artery as a coronary artery bypass graft by intercostal duplex scanning ultrasonography. Jpn. J. Thorac. Cardiovasc. Surg. 2001; 49(6): 343–346.
- 1. Barner H.B., Standeven J.W., Reese J.** Twelve-year experience with internal mammary artery for coronary artery bypass. Thorac. Cardiovasc. Surg. 1985; 90: 668–675.
- 2. Loop F.D., Lytle B.W., Cosgrove D.M., et al.** Influence of the internal–mammary–artery graft on 10-year survival and other cardiac events. N. Engl. J. Med. 1986; 2: 1–6.
- 3. Glineur D., D'hoore W., de Kerchove L., et al.** Angiographic predictors of 3-year patency of bypass grafts implanted on the right coronary artery system: a prospective randomized comparison of gastroepiploic artery, saphenous vein, and right internal thoracic artery grafts. Thorac. Cardiovasc. Surg. 2011; 142: 980–988.
- 4. Cho W.C.** Left internal thoracic artery composite grafting with the right internal thoracic versus radial artery in coronary artery bypass grafting. Thorac. Cardiovasc. Surg. 2011; 26(6): 579–585.
- 5. Lytle B.W., Blackstone E.H., Sabik J.F., et al.** The effect of bilateral internal thoracic artery grafting on survival during 20 postoperative years. Ann. Thorac. Surg. 2004; 78(6): 2005–2012.
- 6. Zacharias A., Schwann T.A., Riordan C.J., et al.** Late outcomes after radial artery versus saphenous vein grafting during reoperative coronary artery bypass surgery. Thorac. Cardiovasc. Surg. 2010; 139(6): 1511–1518.
- 7. Ohtani N., Kiyokawa K., Asada H., et al.** Evaluation of an internal thoracic artery as a coronary artery bypass graft by intercostal duplex scanning ultrasonography. Jpn. J. Thorac. Cardiovasc. Surg. 2001; 49(6): 343–346.
- 8. Madaric J., Mistrik A., Pacak J., et al.** The internal mammary artery bypass— the principles of preoperative and postoperative diagnosis using colour-duplex ultrasound. Bratisl. Lek. Listy. 2001; 102(9): 400–405.
- 9. Moro H., Ohzeki H., Hayashi J.I., et al.** Evaluation

-
24. **Sandrikov V.A., Lipatova Yu.S., Zhanov I.V.** Registration and interpretation of coronary blood flow after myocardial revascularization. *Cardiology and Cardiovascular Surgery*. 2010; 3: 22–25 (in Russian).
25. **Aleksic M., Heckenkamp J., Gawenda M., et al.** Pulse-satility index determination by flowmeter measurement: a new indicator for vascular resistance. *Eur. Surg. Res.* 2004; 36: 345–349.
26. **Wendler O., Tscholl D., Huang Q., Schäfers H.J.** Free flow capacity of skeletonized versus pedicled internal thoracic artery grafts in coronary artery bypassgrafts. *Eur. J. Cardiothorac. Surg.* 1999; 15(3): 247–250.
27. **Huang Q., Wendler O., Langer F., et al.** Effects of skeletonized versus pedicled internal thoracic artery grafts on free flow capacity during bypass. *J. Tongji. Med. Univ.* 2000; 20(4): 308–310.
-

Адрес для корреспонденции:
Сивущина С.В.
Тел./факс: + 7 (8412) 41–25–01
E-mail: cardio-penza@yandex.ru

Correspondence to:
Sivushchina S.V.
Tel.: + 7 (8412) 41–25–01
E-mail: cardio-penza@yandex.ru